



KİMYA-METALURJİ FAKÜLTESİ
METALURJİ VE MALZEME MÜHENDİSLİĞİ BÖLÜMÜ
MEM3952 Laboratuvar II Dersi Deney Raporu

MÜDEK

Dersin Kodu ve Adı: MEM3952 Laboratuvar II Grup No:

Öğrencinin Adı Soyadı: SERRA ERSOY Öğrenci No:

Öğrencinin İmzası:

Soru	1.	2.	3.	4.	5.	6.	7.
Puan							

DENEY RAPORU

1. Deneyin Adı: DENEY 6: KOPOLİMERİTASYONDA MONOMER REAKTİVİTESİ

2. Deneyin Amacı: Bu deneyin amacı Poli(stiren-ko-metil metakrilat) sentezleyerek Monomer reaktivitesinin Kopolymeritasyon (kopolimer tipi) üzerindeki etkisini öğrenmektedir.

3. Deneyde Kullanılan Kimyasal Malzemeler ve Ekipmanlar: Hassas terazi, balık, biber Bentoil peroksit, metil metakrilat (MMA), stiren, stirling, tüber, manyetik karıştırıcı.

3.1 Deneyde kullanılan kimyasalların MSDS özellikleri.

Bentoil peroksit → Organic Peroxide, (Type C) : (H242) Heating may cause a fire.
(C₄H₁₀O₄) Eye irritation, (Category 2) : (H319) Causes serious eye irritation.
Skin sensitization, (Category 1) : (H317) May cause an allergic skin reaction

metil metakrilat (MMA) → Alleviator sıvıları (Kategori 2), H225
(C₅H₈O₂) Cilt tahrifçi (Kategori 2), H315
cilt hassostagtrici (Kategori 1), H317

3.2 Kimyasal ve fiziksel özellikleri

C₄H₁₀O₄ → M_w: 242,23 g/mol, Solid, melting Point: 103-104°C,

C₅H₈O₂ → M_w: 100,121 g/mol, density: 940 kg/m³, boiling point: 101°C, soluble in water, melting Point: -48 °C, sıvı, renksiz, keskin kokulu, patlano (flesh point): 10°C

3.3 Deneyde kullanılan cihaz-ekipman isimleri ve deneyde kullanım amaçları. (3 puan)

Hassas Terazi → Kimyasalların tırtımı için kullanılmıştır.

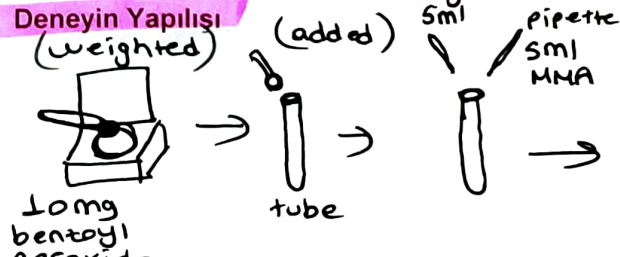
Balık → Tüp se biberde salışyoların karıştırılması, için kullanılmıştır.

Tüp se biber → Salışyoların karışması için kullanılmıştır.

Manyetik karıştırıcı → Sıvıların karıştırılması için kullanılmıştır.

4. Deneyin Yapılışı

(weighted)



1) 10 mg purified bentoyl peroxide was placed in a tube.

2) Then, 5ml MMA and 5ml styrene were added.

3) Then, it was allowed to mix at 70°C for 40 minutes.

4) After removing the tube, the solution was slowly poured into 100 ml of methanol.

5) The polymers were thoroughly mixed and the polymer was observed as a white precipitate at the bottom of the beaker.

b) The polymer collected on the filter paper was dried and sent for NMR analysis.



filter paper

S-Deneyde Elde Edilen Veriler

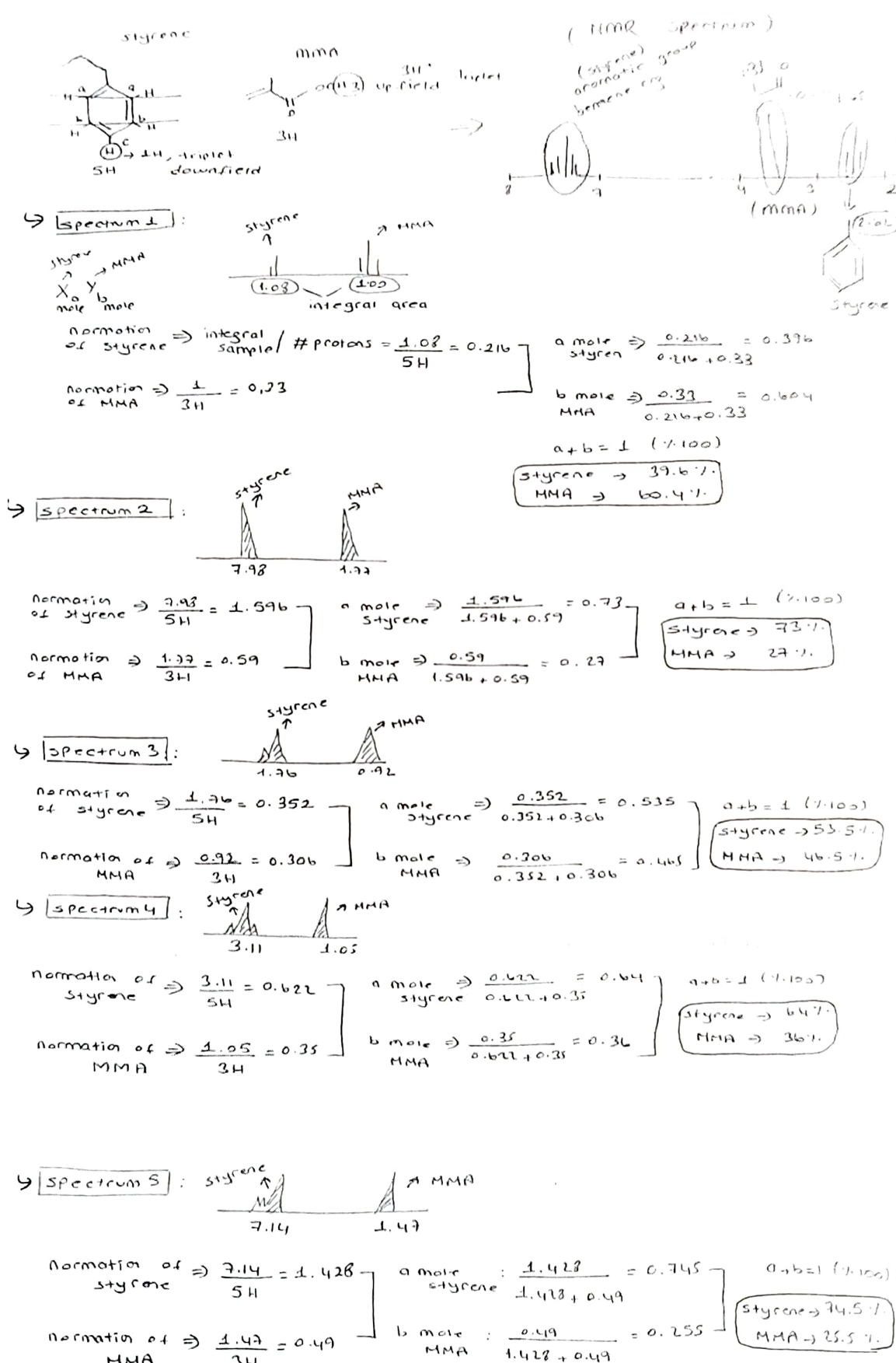


Figure 5: Calculation steps for Spectrum 1, 2, 3, 4 and 5 depends on the ChemDraw of Styrene and MMA.

5. Deneyden Elde Edilen Veriler

H-NMR Bonullar:

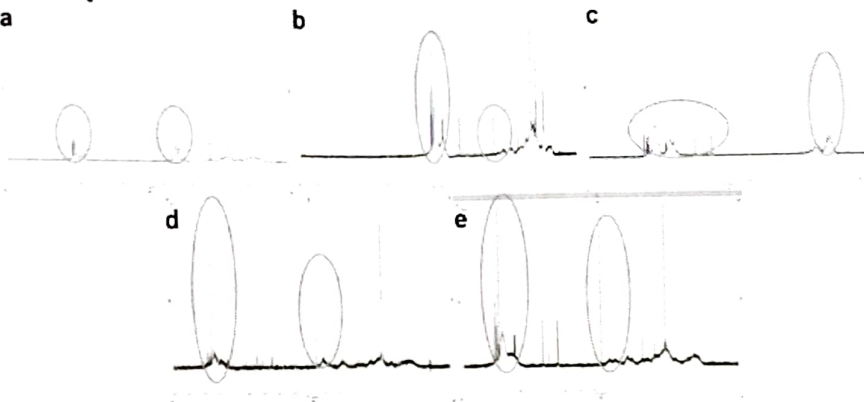


Figure 4: H-NMR Spectrum for Spectrum 1 (a), Spectrum 2 (b), Spectrum 3 (c), Spectrum 4 (d), Spectrum 5 (e) [1].

The chemical structures for styrene and MMA were first examined in the ChemDraw application in order to make NMR interpretation.

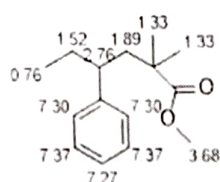


Table 1: Percentage of Styrene and MMA according to the moles ratios.

Spectrum number	Percentage of MMA (%)	Percentage of Styrene (%)
#1	60.4	39.6
#2	27	73
#3	46.5	53.5
#4	36	64
#5	25.5	74.5

! Tüm hesaplamalar, analizler, deney sırasında yapılışın özetlenmesini
Hepsinin bu kısma eklenmelidir.

6. Tartışma ve Deney Sonuçlarının Değerlendirmesi

- ! Hocaların verdiği sorular bu kısımda araştırılmalı ve eklenmelidir.
- ! Deney ve araştırma sonuçlarında öğrenilenler tartıslımlı ve eklenmelidir.

In this experiment, styrene and MMA polymers were combined to create Poly(styrene-co-methyl metacrylate) copolymer. By utilizing various monomer ratios, the reactivity effect is intended to be seen. Monomer ratios were determined for each spectrum by performing NMR analysis on the polymers that were produced as a result of polymerization.

7. Kaynakça

- [1] American Cancer Society, <https://www.cancer.org/treatment/understanding-your-diagnosis/tests/testing-biopsy-and-cytology-specimens-for-cancer.html>, 31.10.2019.
- [2] H. Mohan, Textbook of pathology. Jaypee Brothers, Medical Publishers Pvt.Limited, 2018.
- [3] J. Van Hulse, T. M. Khoshgoftaar, and A. Napolitano, "Experimental perspectives on learning from imbalanced data," in Proceedings of the 24th International Conference on Machine learning, ACM, 2007, pp. 935–94.
- [4] F. Xing, L. Yang, "Robust nucleus/cell detection and segmentation in digital pathology and microscopy images: A comprehensive review," IEEE Reviews in biomedical engineering, vol. 9, pp. 234–263, 2016.